

## ارزیابی تراکم ماستسل و عروق خونی در ضایعات التهابی پریآپیکال

صفورا سیفی\*#، شهریار شفایی\*\*، علی بیژنی\*\*\*، فاطمه ادھمی\*\*\*\*

\* استادیار آسیب شناسی دهان، فک و صورت، مرکز تحقیقات سلولی و مولکولی، دانشکده دندانپزشکی، دانشگاه علوم پزشکی بابل

\*\* استادیار آسیب شناسی، مرکز تحقیقات سلولی و مولکولی، دانشکده پزشکی، دانشگاه علوم پزشکی بابل

\*\*\* پزشک عمومی

\*\*\*\* دندانپزشک

تاریخ ارائه مقاله: ۹۰/۱۰/۴ - تاریخ پذیرش: ۹۱/۲/۹

### Evaluation of Mast Cell and Blood Vessel Density in Inflammatory Periapical Lesions

Safoura Seifi\*#, Shahriar Shafaee\*\*, Ali Bighani\*\*\*, Fatemeh Adhami\*\*\*\*

\* Assistant Professor of Oral & Maxillofacial Pathology, Center of Cellular and Molecular Research, School of Dentistry, Babol University of Medical Sciences, Babol, Iran.

\*\* Assistant Professor of Pathology, Center of Cellular and Molecular Research, School of Medical, Babol University of Medical Sciences, Babol, Iran.

\*\*\* General Practitioner

\*\*\*\* Dentist

Received: 25 December 2011; Accepted: 28 April 2012

**Introduction:** Radicular cysts and periapical granulomas are the most common periapical inflammatory lesions. However, the role of cellular immunity and microvessels in their pathogenesis remains unknown. The aim of this study was to evaluate the mast cell density (MCD), microvessel density (MVD) and investigating the correlation between their densities with each other in the above mentioned lesions.

**Materials & Methods:** In this descriptive cross-sectional study, 40 paraffin blocks of mentioned lesions were selected from achieves of School of Dentistry, Babol University of Medical Sciences. Three sections were prepared from each block and stained by hematoxylin-eosin, toluidine blue, and immunohistochemically for CD34 to determine the score of inflammation, presence of mast cells and degranulated mast cells (DMCs), and MVD, respectively. The correlation between MCD and either inflammatory infiltrate or MVD was evaluated. Data analyzed by *t* student, Mann-Whitney and Spearman test.

**Results:** Mast cells were present in all periapical inflammatory lesions;  $15.4 \pm 14.8$  for MCD,  $7.2 \pm 6.1$  for DMCs, and the ratio of DMCs to total number of MCs was  $0.354 \pm 0.166$  and  $14.8 \pm 4.44$  for blood vessel density in radicular cyst and  $8.52 \pm 6.75$ ,  $2.91 \pm 2.1$ ,  $0.196 \pm 0.194$  and  $13 \pm 8.02$  in periapical granulomas, respectively. There was a positive correlation between MCD and MVD in radicular cyst ( $P=0.03$ ,  $r=0.341$ ), but not in periapical granulomas ( $P=0.6$ ,  $r=0.124$ ). MCD and MVD increased with the score of inflammation in radicular cyst ( $P=0.001$ ,  $r=0.7$ ) and periapical granuloma ( $P=0.012$ ,  $r=0.54$ ).

**Conclusion:** Mast cells and microvessels play a role in pathogenesis of periapical inflammatory lesions. In this study, the density of mast cells and DMCs in radicular cyst was higher than periapical granulomas, but no difference was observed regarding MVD in periapical inflammatory lesions. It seems that the relationship between MCD and MVD is different based on the clinical stage of periapical inflammatory lesions.

**Key words:** Radicular cysts, periapical granulomas, mast cell, CD34, toluidine blue.

# Corresponding Author: SF\_Seify@yahoo.com

J Mash Dent Sch 2012; 36(2): 121-32.

**چکیده**

**مقدمه:** کیست رادیکولار و گرانولوم دندانی شایع‌ترین ضایعات التهابی مزمن پری‌آپیکال می‌باشد، اما نقش اینمی سلولی و عروق خونی در پاتوژنی آنها چندان شناخته شده نیست. لذا هدف مطالعه حاضر بررسی و تعیین تراکم ماست‌سل و عروق خونی و ارتباط تراکم آنها با یکدیگر در ضایعات فوق بود.

**مواد و روش‌ها:** در این مطالعه توصیفی-مقطعي، ۴۰ بلوک پارافینه کیست رادیکولار و گرانولوم دندانی از فایل‌های آرشیو دانشکده دندانپزشکی بابل خارج شد. سپس از هر بلوک ۳ برش تهیه شده و تحت رنگ‌آمیزی هماتوکسیلين-اوزین، تولوئیدین بلو و ایمونوهیستوژنمی (CD34) به ترتیب جهت تعیین شدت التهاب، شناسایی ماست‌سل، ماست‌سل دگرانوله و عروق خونی قرار گرفت. ارتباط تراکم ماست‌سل با شدت ارتشاج التهابی و تعداد عروق خونی بررسی شد. داده‌ها با استفاده از آزمون های Mann-Whitney و student همبستگی اسپیرمن تجزیه و تحلیل شدند.

**یافته‌ها:** در کلیه ضایعات التهابی پری‌آپیکال ماست‌سل دیده شد. تراکم ماست‌سل  $15 \pm 4$  و ماست‌سل دگرانوله  $1 \pm 2$  و نسبت ماست‌سل دگرانوله به کل تعداد ماست‌سل  $354 \pm 0$  و تراکم عروق خونی در کیست رادیکولار  $44 \pm 4$  و در گرانولوم دندانی به ترتیب  $13 \pm 8$  و  $4 \pm 2$  و  $196 \pm 0$  و  $2 \pm 2$  و  $75 \pm 8$  بود. ارتباط مثبتی در تراکم ماست‌سل با عروق خونی در کیست رادیکولار مشاهده شد ( $P=0.03$ )، اما این ارتباط در گرانولوم دندانی دیده نشد ( $P=0.02$ ). با افزایش شدت التهاب، تراکم ماست‌سل و عروق خونی در کیست رادیکولار ( $P=0.01$ ) و گرانولوم دندانی ( $P=0.04$ ) و  $r=0.12$  افزایش یافت.

**نتیجه‌گیری:** ماست‌سل‌ها و عروق خونی در پاتوژنی ضایعات التهابی مزمن پری‌آپیکال موثرند. تراکم ماست‌سل و انواع دگرانوله آن و نسبت ماست‌سل دگرانوله به کل تعداد ماست‌سل‌ها در کیست رادیکولار بیشتر از گرانولوم دندانی بود، اما تفاوت معنی‌داری در تراکم عروق خونی در دو ضایعه فوق دیده نشد. به نظر می‌رسد که ارتباط تراکم ماست‌سل با عروق خونی بر حسب مرحله مختلف بالینی ضایعات التهابی پری‌آپیکال متفاوت باشد.

**واژه‌های کلیدی:** کیست رادیکولار، گرانولوم پری‌آپیکال، ماست‌سل، CD34، تولوئیدین بلو.  
مجله دانشکده دندانپزشکی مشهد / سال ۱۳۹۱ دوره ۳۶ / شماره ۲: ۳۲-۱۲۱.

**مقدمه**

گرفته و وارد خون محیطی می‌گردد. به محض ورود در بافت و تحت تاثیر عوامل محرك مانند ترومما، عفونت و توکسین، دگرانوله شده و فاكتورهایی مانند هيستامین، هپارین، تریپتاز، کیماز، فاكتور رشدی سلول آندوتیالی، فاكتور رشدی فیبروبلاست، سایتوکاین‌ها و کموکاین‌ها را ترشح می‌کنند.<sup>(۴)</sup>

جهت شناسایی ماست‌سل‌ها از روش‌های رنگ‌آمیزی مختلفی مانند ایمونوهیستوژنمی، گیسمای سافرانین، تولوئیدین بلو، آلسین بلو استفاده می‌شود که ساده‌ترین، ارزان‌ترین و سریع‌ترین روش، رنگ‌آمیزی تولوئیدین بلو است.<sup>(۵)</sup>

ضایعات التهابی پری‌آپیکال جهت رشد نیازمند افزایش تعداد عروق خونی هستند.<sup>(۶)</sup> امروزه برای سنجش تراکم عروق خونی از نشانگرهای CD105، CD31، CD34 ماست‌سل‌ها از

کیست رادیکولار و گرانولوم دندانی شایع‌ترین ضایعات التهابی پری‌آپیکال مزمن در آپکس دندان غیرزنده هستند که توسط تعدادی از مدیاتورهای التهابی ترشح شده ناشی از عفونت دندانی ایجاد می‌گردند. تشکیل ضایعات پری‌آپیکال با فعل شدن پاسخ اینمی و تحریب استخوان اطراف همراه است.<sup>(۱)</sup> کیست رادیکولار و گرانولوم پری‌آپیکال از نظر رادیوگرافی و بالینی به یکدیگر شباهت دارند به طوری که راه اصلی تمایز آنها از طریق تهیه بیوپسی و مشاهده هیستوپاتولوژی است. تنها تفاوت هیستوپاتولوژی آنها، وجود اپیتلیوم سنگفرشی مطبق در کیست رادیکولار است.<sup>(۲)</sup> ماست‌سل‌ها از سلول‌های دفاعی سیستم اینمی بوده که گرد تا بیضوی شکل هستند و از سلول‌های بنیادی مغز استخوان منشا

از آن جا که ماستسل‌ها در اکثر ضایعات پاتولوژیک در اطراف عروق خونی رؤیت می‌گردند.<sup>(۱۰)</sup> این موضوع محققان را به تحقیق در مورد ارتباط ماستسل و عروق خونی سوق داده است. اما نقش ماستسل‌ها در رگسازی در گرانولوم دندانی و کیست رادیکولار شناخته شده نیست. ارتباط تراکم ماستسل و عروق خونی در ضایعات دهانی دارای نتایج ضد و نقیض بوده و همواره این سوال مطرح است که ماستسل‌ها نقش اولیه یا ثانویه در تشکیل عروق خونی در ضایعات دهانی دارند.

برخی از مطالعات در ملانوما، کارسینومای معده و کارسینوم سلول سنگفرشی ارتباط تراکم ماستسل با عروق خونی را بررسی و تایید کردند.<sup>(۱۶-۱۸)</sup> و محققان دیگر در کارسینوم سلول کلیوی این ارتباط را تأیید نکردند.<sup>(۱۹)</sup> در مطالعات انجام شده در سال‌های اخیر فقط تعداد ماستسل‌ها در ضایعات التهابی پری‌آپیکال بررسی شده است.<sup>(۱۹)</sup> اما نقش ایمنی سلولی و ماستسل‌ها و ارتباط آن با تعداد عروق خونی و شدت التهاب تا به امروز در ضایعات التهابی پری‌آپیکال ناشناخته مانده و در هیچ مطالعه‌ای بررسی نشده است. لذا هدف مطالعه حاضر بررسی تراکم ماستسل و ماستسل دگرانوله و نسبت تراکم ماستسل دگرانوله به کل تعداد ماستسل، تعداد عروق خونی و ارتباط تعداد ماستسل با تعداد عروق خونی و شدت التهاب در ضایعات التهابی پری‌آپیکال به روش رنگ‌آمیزی ایمونوھیستوشیمی با نشانگر (CD34) و تولوئیدن بلو (جهت شناسایی ماستسل) بود.

### مواد و روش‌ها

در این مطالعه توصیفی-تحلیلی، کلیه فایل‌های آرشیو پاتولوژی دانشکده دندانپزشکی بابل از سال ۸۲ تا ۹۰ بررسی شد. ۴۰ بلوک پارافینه از ضایعات التهابی پری‌آپیکال شامل ۲۰ مورد گرانولوم دندانی و ۲۰ نمونه

استفاده می‌شود.<sup>(۷)</sup> CD34 نشانگر پان اندوتیالی و مولکول چسبندگی با وزن مولکولی ۱۱۰-۱۲۰ کیلو دالتون است که نقش عمده‌ای در شناسایی تراکم عروق خونی در ضایعات دهانی دارد.<sup>(۸)</sup> به نظر می‌رسد که محتویات گرانولهای ماستسل بعد از آزادسازی در تشکیل عروق خونی به طور مستقیم و یا غیرمستقیم نقش داشته باشند. تریپتاز ماستسل باعث تخریب بافت همبندی شده و منجر به آماده‌سازی فضا برای رگسازی می‌گردد اما اثر مستقیم ماستسل بر روی سلول‌های آندوتیال با آزادسازی FGF، TGF $\beta$  و VEGF همراه بوده و نقش در تحریک پرولیفراسیون و مهاجرت سلول‌های آندوتیال دارد.<sup>(۹)</sup>

دگرانولاسیون ماستسل ویژگی اصلی ضایعات التهابی مانند لیکن پلان، پالپیت و ضایعات التهابی پری‌آپیکال است.<sup>(۱۰)</sup> برخی از مطالعات تفاوت تراکم ماستسل در اجزاء بافتی ضایعات دهانی را مرتبط با سطح بیان Eselectin به عنوان مولکول چسبندگی سلول آندوتیال والقاء شده توسط TNF  $\alpha$  از ماستسل‌های دگرانوله دانستند.<sup>(۱۱)</sup> مطالعات دیگر بیانگر آن هستند که ماستسل‌ها با ترشح پروستاگلاندین نقش در تحلیل استخوان اطراف دارند.<sup>(۱۲)</sup> همچنین برخی از محققان آزاد شدن TNF  $\alpha$  به عنوان سایتوکاین پیش‌التهابی در گرانولهای ماستسل را در تحلیل استخوان، افزایش پاسخ موضعی عروق خونی و القاء التهاب مزمن موثر دانستند.<sup>(۱۳)</sup> برخی دیگر معتقدند که هپارین حاصل از ماستسل منجر به تحریک رشد و حرکت سلول‌های آندوتیال عروق خونی و القاء رگسازی می‌گردد و هیستامین موجود در گرانولهای ماستسل باعث افزایش فرایند رگسازی توسط القاء تکثیرسلول آندوتیال می‌گردد.<sup>(۱۴)</sup>

هیدروژن پر اکساید  $0.03\%$  قرار گرفتند و ۳ دقیقه در فسفات با فرسالین (PBS) شسته شدند. بعداً جهت فرایند بازیافت آنتیژن، اسلامیدها به مدت ۱۰ دقیقه در میکروویو (پاناسونیک، ۱۲۸۰ وات) با فشار ۲ اتمسفر و دمای  $۱۲۰$  درجه سانتیگراد قرار گرفتند و به مدت ۲۰ دقیقه در درجه حرارت اتاق قرار گرفته و سرد شدند. بعد از شستشو در PBS، اسلامیدها تحت تأثیر آنتی بادی اولیه (Anti CD34) Clone1/A4, QBend 10, DAKO, GLostrupDenmark) به رقت  $1/50$  و به مدت ۳۰ دقیقه در دمای اتاق روی اسلامیدها ریخته شد. بعداً اسلامیدها تحت تأثیر آنتی بادی ثانویه قرار گرفتند و سپس در فسفات با فرسالین شسته شدند و تحت تأثیر کروموزون DAB (دی آمینوبنزیدین تراهیدروکلراید) (Sigma/USA) قرار گرفته و با هماتوکسیلین-مایرز Counter stain شدند. سپس اسلامیدها را در درجات سعودی الكل و بعداً در گزیلن قرار داده و اسلامیدها با Entellan و لامل پوشانده شدند. کنترل مثبت اسلامیدها با CD34، کارسینوم مجرایی پستان و کنترل منفی حذف آنتی بادی اولیه بود.

برای رنگ آمیزی تولوئیدین بلو، ابتدا برش های  $4$  میکرومتر تهیه شده از بلوک های پارافینه با چسب مخصوص روی اسلامیدهای شیشه ای قرار داده شدند سپس برش ها با گزیلن دپارافینه شد و در درجات نزولی الكل به مدت  $2$  ساعت قرار گرفته و با آب شسته شدند. بعداً در رنگ تولوئیدین بلو ( $2$  گرم پودر تولوئیدین بلو در  $100cc$  آب با  $PH=2/3$ ) به مدت  $1$  دقیقه قرار گرفته و سپس با آب شسته شده و در  $100\%$  اتیل الكل به مدت  $30$  دقیقه قرار گرفته و بعداً با گزیلن دپارافینه شدند و لامل ها با چسب روی اسلامیدها قرار گرفتند. کنترل مثبت برای شناسایی ماست سل ها، بلوک پارافینه کارسینوم مجرایی پستان و رنگ آمیزی شده با تولوئیدین بلو بود. در این

کیست رادیکولار انتخاب شدند. نمونه ها با طول نامناسب ابی تلیوم در کیست رادیکولار و عمق ناکافی بافت همبندی در گرانولوم دندانی و کیست رادیکولار از مطالعه خارج شدند.

اطلاعات بالینی نمونه ها شامل سن، جنس و محل ضایعه خارج شده در جداولی ثبت گردید. جهت تأیید تشخیص هیستوپاتولوژی و شدت ارتashاج آماسی از بلوک های پارافینه، برش  $5$  میکرون برای رنگ آمیزی هماتوکسیلین-ائوزین زده شد. پس از مشاهده توسط پاتولوژیست دهان و تأیید تشخیص، شدت التهاب مطابق با روش Tasi و همکاران و به صورت زیر طبقه بندی شد.<sup>(۲۰)</sup>

از نظر شدت التهاب اسلامیدهای رنگ آمیزی شده با هماتوکسیلین - ائوزین در بزرگ نمایی  $40$  برابر و در  $3$  فیلد میکروسکوپی پشت سرهم مشاهده شدند. هر Grade اسلامید بر اساس متوسط ارتashاج التهابی در نظر گرفته شد:  
 الف) در صورتی که سلول های التهابی در کمتر از  $1/3$  فیلد دیده شدند، التهاب اندک در نظر گرفته شد.(Grade I)  
 ب) در صورتی که سلول های التهابی در بین  $1/3$  تا  $2/3$  فیلد مشاهده شدند، التهاب متوسط نامیده شد. (Grade II)  
 ج) در صورتی که سلول های التهابی بیشتر از  $2/3$  فیلد رؤیت شدند، التهاب شدید در نظر گرفته شد.(Grade III)  
 رنگ آمیزی ایمونو هیستوشیمی با نشانگر CD34 برای عروق خونی و رنگ آمیزی تولوئیدین بلو جهت تعیین تراکم ماست سل ها به شرح زیر انجام شد:

ابتدا برش های  $4$  میکرونی جهت رنگ آمیزی ایمونو هیستوشیمی از بلوک های پارافینه فوق تهیه گردید و سپس بلوک های پارافینه در گزیلن دپارافینه شده و بعداً در درجات مختلف الكل (اتانول مطلق، اتانول  $96$  درجه، اتانول  $70$  و  $80$  درجه) دهیدراته شده و سپس تحت تأثیر

شد.

### یافته‌ها

در این مطالعه در مجموع ۴۰ بلوک پارافینه از ضایعات التهابی پری آپیکال شامل ۲۰ مورد کیست رادیکولار و ۲۰ نمونه گرانولوم دندانی وجود داشت. اطلاعات بالینی بیماران (سن، جنس و محل ضایعه) در جدول ۱ خلاصه شده است:

در گرانولوم دندانی، ۱۲ مورد دارای ارتash التهابی شدید (Grade III)، ۷ مورد دارای ارتash التهابی متوسط (Grade II)، و یک مورد ارتash التهابی خفیف (Grade I) دیده شد.

در کیست رادیکولار، ۱۱ مورد (Grade III)، ۶ مورد در کیست رادیکولار بودند.

اگرچه میانگین تراکم عروق خونی در کیست رادیکولار بیشتر از گرانولوم دندانی بود اما اختلاف آماری معنی داری بین دو گروه مشاهده نشد ( $P=0.3$ ) (جدول ۲ و تصاویر ۳ و ۲ و ۱)

میانگین تراکم ماستسل‌ها، ماستسل‌های دگرانوله و نسبت تراکم ماستسل دگرانوله به کل تعداد ماستسل‌ها در جدول ۳ خلاصه شده است.

تراکم ماستسل ( $P=0.04$ ), ماستسل دگرانوله ( $P=0.01$ ) و نسبت تراکم ماستسل دگرانوله به کل تعداد ماستسل‌ها ( $P=0.01$ ), در کیست رادیکولار به طور معنی داری بیشتر از گرانولوم دندانی بود.

ماستسل‌ها در گرانولوم دندانی در ناحیه ارتash التهابی مزمن رؤیت شد. در کیست رادیکولار ماستسل‌ها به تعداد کمتر در زیر اپی‌تیلیوم و اطراف عروق خونی و بیشتر در اطراف ارتash التهابی مزمن (لنفوسيت‌ها) مشاهده شدند (تصویر ۶ و ۵ و ۴).

در کیست رادیکولار ( $t=0.07$  و  $P=0.01$ ) و گرانولوم

رنگ‌آمیزی ماستسل‌ها، سلول‌های گرد تا مثلثی شکل و دارای هسته آبی و سیتوپلاسم گرانولار بنفس ارغوانی رنگ بوده و به محض دگرانوله شدن، هسته کناری آبی رنگ و با اندازه کوچک در حاشیه همراه با سیتوپلاسم بنفس رنگ منتشر شده مشاهده می‌گردد.<sup>(۵)</sup>

جهت شمارش تراکم ماستسل، ماستسل‌های دگرانوله و عروق خونی در ابتدا اسلايدهای میکروسکوپی با بزرگنمایی ۱۰ برابر مشاهده شدند و نواحی با بیشترین تعداد ماستسل و عروق خونی با بزرگنمایی ۴۰ برابر انتخاب گردیدند و میانگین کمی (تعداد ماستسل)، تعداد ماستسل دگرانوله و عروق خونی در ۵ فیلد میکروسکوپی تعیین شد.<sup>(۶)</sup> لازم به ذکر است که تنها سلول‌های آندوتیالی که تشکیل لومن عروقی داده بودند در محاسبه وارد شدند و سلول‌های آندوتیالی منفرد در نظر گرفته نشدند. عروق خونی با دیواره عضلانی هم از مطالعه خارج شدند. نتایج توسط ۲ پاتولوژیست با میکروسکوپ نوری (Olympus BX41, Japan) بررسی شد. سپس نسبت تراکم ماستسل دگرانوله به کل تعداد ماستسل‌ها در جداول ثبت شد. همچنین شدت ارتash آماسی با بررسی اسلايدهای رنگ‌آمیزی شده با هماتوکسیلین-اژوزین تعیین شد. نتایج وارد SPSS با ویرایش ۱۶ شده و با آنالیزهای آماری زیر مورد تجزیه و تحلیل قرار گرفتند.

جهت ارزیابی مقایسه‌ای تعداد عروق خونی در کیست رادیکولار و گرانولوم دندانی از آزمون *t*-test و جهت بررسی مقایسه‌ای تعداد ماستسل و ماستسل دگرانوله در گرانولوم دندانی و کیست رادیکولار از آزمون‌های *t*-test و Mann Whitney استفاده شد. برای تعیین ارتباط تراکم عروق خونی، تعداد کل ماستسل‌ها و شدت ارتash التهابی، آزمون Spearman correlation به کار برده

دندانی ( $P=0/56$ ) و گرانولوم دندانی ( $P=0/83$  و  $t=0/56$ ) اختلاف معنی داری نشان نداد.

آزمون اسپیرمن نشان داد که در کیست رادیکولار ارتباط مثبتی بین تراکم ماست سل با تعداد عروق خونی وجود دارد. ( $P=0/03$  و  $t=0/341$ )

اما در گرانولوم دندانی ارتباط مثبتی بین تراکم ماست سل با تعداد عروق خونی مشاهده نشد. ( $t=0/124$  و  $P=0/6$ )

دندانی ( $t=0/12$  و  $P=0/012$ ) با افزایش شدت التهاب، تراکم عروق خونی افزایش نشان داد.

در کیست رادیکولار با افزایش شدت التهاب، تعداد ماست سل دگرانوله، افزایش یافت. ( $t=0/68$  و  $P=0/001$ ) در گرانولوم دندانی اگرچه تعداد ماست سل دگرانوله با افزایش شدت التهاب افزایش نشان داداما از نظر آماری اختلاف معنی داری مشاهده نشد. ( $t=0/38$  و  $P=0/096$ ) نسبت ماست سل دگرانوله به کل تعداد ماست سل ها با افزایش شدت التهاب در کیست رادیکولار ( $t=0/38$  و  $P=0/038$ )

جدول ۱ : توزیع فراوانی گرانولوم دندانی و کیست رادیکولار به تفکیک سن، جنس و محل ضایعه

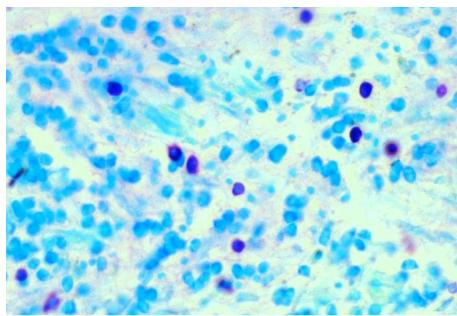
نوع ضایعه	میانگین سنی (سال)	جنس						محل ضایعه
		ذکر	موث	فک پایین	فک بالا	تعداد (درصد)	تعداد (درصد)	
گرانولوم دندانی	۳۲/۲±۱۱/۴	۱۱	۹	(۴۵/۰)	۶	(۳۰/۰)	(۷۰/۰)	۱۴
کیست رادیکولار	۳۴/۵±۱۲/۸	۷	۱۳	(۶۵/۰)	۱۱	(۵۵/۰)	(۴۵/۰)	۹

جدول ۲ : مقایسه میانگین تراکم عروق خونی (MVD) در گرانولوم دندانی و کیست رادیکولار

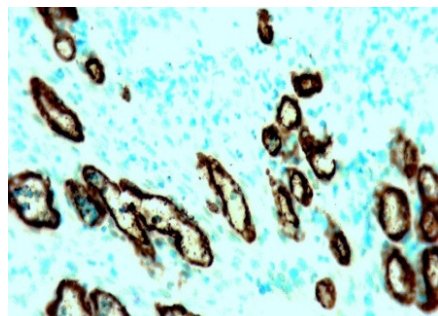
نوع ضایعه	انحراف معیار ± میانگین	میانگین تراکم عروق خونی	حداقل تراکم عروق خونی	نوع ضایعه
گرانولوم دندانی	۴	۳۲	۱۳ ± ۸/۰۲	۱۴/۸ ± ۴/۴۴
کیست رادیکولار	۹	۲۳		

جدول ۳ : مقایسه میانگین تراکم ماست سل، ماست سل دگرانوله به کل تعداد ماست سل در گرانولوم دندانی و کیست رادیکولار

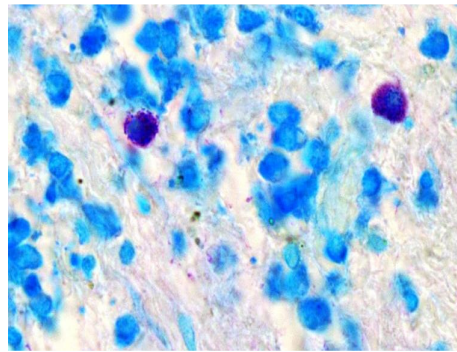
نوع نمونه	تراکم کلی ماست سل	تراکم ماست سل دگرانوله	نسبت تراکم ماست سل دگرانوله
گرانولوم دندانی	۶/۷۵ ± ۸/۵۲	۲/۱±۲/۹۱	۰/۱۹۶ ± ۰/۱۹۶
کیست رادیکولار	۱۴/۸ ± ۱۵/۴	۶/۱ ± ۷/۲	۰/۳۵۶ ± ۰/۱۶۶



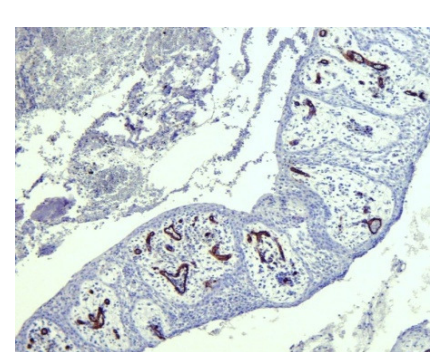
تصویر ۴ : رنگ آمیزی تولوئیدین بلو در گرانولوم دندانی (X ۴۰) رنگ پذیری ماستسل در گرانولوم دندانی و در مجاورت ارتاشام آماسی مزمن



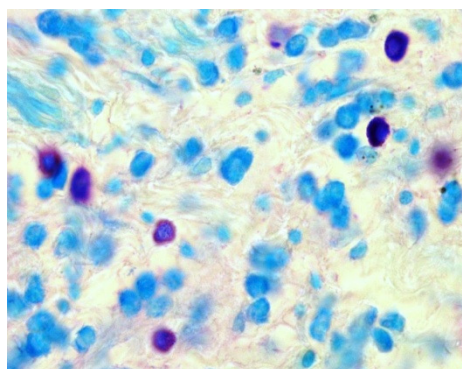
تصویر ۱ : رنگ آمیزی ایمونوہیستوشیمی با نشانگر CD34 در گرانولوم دندانی (X ۴۰) رنگ پذیری عروق خونی با نشانگر CD34



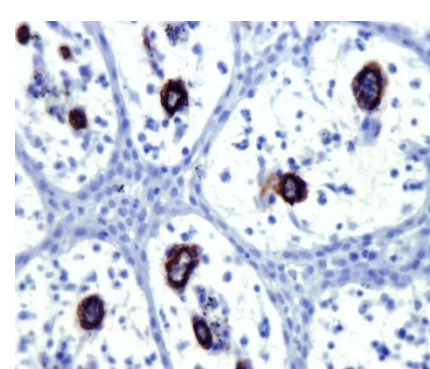
تصویر ۵ : رنگ آمیزی تولوئیدین بلو در گرانولوم دندانی (X100) رنگ پذیری ارغوانی-بنفش رنگ ماستسل ها در رنگ آمیزی تولوئیدین بلو



تصویر ۲ : رنگ آمیزی ایمونوہیستوشیمی با نشانگر CD34 در کیست رادیکولار (X10) رنگ پذیری عروق خونی با نشانگر CD34



تصویر ۶ : رنگ آمیزی تولوئیدین بلو در کیست رادیکولار (X ۱۰۰) رنگ پذیری ماستسل ها (ارغوانی-بنفش) در کیست رادیکولار و در مجاورت ارتاشام آماسی مزمن



تصویر ۳ : رنگ آمیزی ایمونوہیستوشیمی با نشانگر CD34 در کیست رادیکولار (X ۴۰) رنگ پذیری عروق خونی در مجاورت اپی تیلوم کیست و با نشانگر CD34

## بحث

مطالعه ما از نظر تراکم بیشتر ماست سل در کیست رادیکولار نسبت به گرانولوم دندانی تأیید کننده مطالعه Sharma<sup>(۲۲)</sup>, Rodini<sup>(۱۵)</sup> و همکاران<sup>(۱۰)</sup> است.

کیست رادیکولار و گرانولوم دندانی از نظر بالینی و رادیوگرافی مشابه یکدیگرند و در نمای پاتولوژی تنها از نظر وجود اپی تلیوم سنگفرشی مطبق در کیست رادیکولار متفاوت از گرانولوم دندانی است.<sup>(۲۴)</sup> شاید افزایش تعداد ماست سل در کیست رادیکولار بیانگر نقش ماست سل‌ها در پرولیفراسیون بقایای اپی تلیالی مالasz و تاثیر آنها در تشکیل کیست رادیکولار باشد.

در مطالعه حاضر بیشتر بودن تعداد ماست سل دگرانوله و نسبت ماست سل دگرانوله به کل تعداد ماست سل‌ها در کیست رادیکولار نسبت به گرانولوم دندانی مشاهده شد که می‌تواند بیانگر فعالیت بیشتر ماست سل‌ها در کیست رادیکولار باشد اگرچه در مطالعات مختلف تعداد کلی ماست سل‌ها در ضایعات التهابی پری‌آپیکال بررسی شده است،<sup>(۲۲) و (۱۰)</sup> اما تاکنون در مطالعه‌ای، تعداد ماست سل دگرانوله و نسبت ماست سل دگرانوله به کل تعداد ماست سل‌ها به تفکیک در ضایعات التهابی پری‌آپیکال تعیین نشده است.

Caries و همکاران بیان کردند که ماست سل‌ها با ترشح تریپتاز به طور غیرمستقیم در پرولیفراسیون اپی‌تلیالی مالasz نقش دارند. ایشان گزارش نمودند که تریپتاز باعث تحریک آزادسازی IL-8 از سلول‌های اپی‌تلیالی و افزایش بیان ICAM شده و ممکن است در ترمیم اپی‌تلیوم و فراخوانی گرانولوستیت‌ها به دنبال فعالیت ماست سل نقش داشته باشد.<sup>(۱۱)</sup>

مطالعات قبلی انجام شده در ضایعات مختلف ارتباط نزدیک بین ماست سل و عروق خونی و باندل‌های عصبی را گزارش کرده‌اند.<sup>(۱۵) و (۲۵)</sup> در این مطالعه تراکم بیشتر

بر اساس نتایج مطالعه حاضر، ماست سل‌ها در کلیه ضایعات التهابی پری‌آپیکال (کیست رادیکولار و گرانولوم دندانی) مشاهده شدند، اما تراکم آنها در کیست رادیکولار بیشتر از گرانولوم دندانی بود. اینگونه به نظر می‌رسد که ماست سل‌ها در پاتولوژی ضایعات التهابی پری‌آپیکال نقش دارند، اما تعداد و فعالیت آنها بر حسب مرحله بالینی تکامل ضایعات التهابی پری‌آپیکال متفاوت است. Rodini و همکاران<sup>(۱۵)</sup> در ضایعات التهابی پری‌آپیکال و Farahani و همکاران<sup>(۱۲)</sup> در ضایعات واکنشی دهان حضور ماست سل‌ها را مرتبط با مرحله بالینی تشکیل و تکامل این ضایعات گزارش کرده‌اند. Drazic و همکاران در مطالعه بر روی ۹۶ نمونه ضایعه التهابی پری‌آپیکال با رنگ‌آمیزی گیمسا، تنها در ۷۰/۸٪ موارد (۶۸ نمونه) از ضایعات فوق ماست سل‌ها را یافتند<sup>(۱۰)</sup>، اما Sharma و همکاران در کلیه ضایعات التهابی پری‌آپیکال با رنگ‌آمیزی آسترابلو نسبت به تولوئیدین بلو و آسترابلو ماست سل‌ها را مشاهده کردند. ایشان تعداد بیشتر ماست سل‌ها را با رنگ‌آمیزی آسترابلو نسبت به تولوئیدین بلو در ضایعات التهابی پری‌آپیکال گزارش کردند.<sup>(۲۲)</sup> نتایج مطالعه ما از نظر حضور ماست سل‌ها در کلیه ضایعات التهابی پری‌آپیکال تأیید کننده مطالعه Sharma و همکاران<sup>(۲۲)</sup> بوده ولی با نتایج مطالعه Drazic و همکاران<sup>(۱۰)</sup> متفاوت است. به نظر می‌رسد که نوع روش رنگ‌آمیزی در شناسایی تعداد ماست سل‌ها بر روی نتایج مطالعه مؤثر باشد. Marcal و همکاران با رنگ‌آمیزی تولوئیدین بلو تعداد بیشتر ماست سل را در گرانولوم دندانی نسبت به کیست رادیکولار یافتند.<sup>(۱)</sup> Montes و همکاران نیز تراکم ماست سل را در گرانولوم دندانی با اپیتلیوم پرولیفره بیشتر از آبشه حاد، مزمن و گرانولوم دندانی بدون اپیتلیوم پرولیفره مطرح کردند.<sup>(۲۳)</sup> نتایج

در این مطالعه علاوه بر تعداد ماستسل، تعداد عروق خونی نیز در ضایعات التهابی پری‌آپیکال بررسی شد، به طوری که افزایش تعداد عروق خونی در کیست رادیکولار نسبت به گرانولوم دندانی مشاهده شد، اما اختلاف از نظر آماری معنی‌دار نبود. اکثر مطالعات قبلی نقش VEGF/VIP را به عنوان مدیاتور اصلی رگسازی در پاتوژن ضایعات التهابی پری‌آپیکال تأیید کرده‌اند و در مطالعاتی از نشانگر CD<sup>۳۱</sup> در بررسی تراکم عروق خونی در کیست رادیکولار استفاده شده است<sup>(۲۸)</sup> اما در بررسی مقالات انگلیسی زبان، نشانگرهای CD<sup>۳۴</sup> و CD<sup>۱۰۵</sup> در تعیین تراکم عروق خونی در ضایعات التهابی پری‌آپیکال تا به حال استفاده نشده است. CD<sup>۳۴</sup> به عنوان سیالوموسین و مولکول چسبندگی سلولی عمل کرده و بیانگر تراکم عروق خونی در ضایعات تومورال و غیرتومورال است، اما قادر به افتراق عروق خونی تازه تشکیل شده از عروق خونی اولیه نیست.<sup>(۸)</sup>

مروری بر مکانیسم تشکیل ضایعات پری‌آپیکال تأییدکننده نقش رگسازی در رشد و بزرگ شدن این ضایعات است.<sup>(۲۸)</sup>

به نظر می‌رسد که سلول‌های آماسی ابتدا از عروق خونی می‌بازان جهت تأمین اکسیژن و مواد غذایی استفاده می‌کنند ولی با افزایش تعداد سلول‌های آماسی و بزرگ شدن ضایعات التهابی پری‌آپیکال، تشکیل عروق خونی جدید الزامی است. اما عروق خونی تازه تشکیل شده نابالغ بوده و نفوذپذیری بالایی دارند.<sup>(۱۴ و ۲۹ و ۳۰)</sup>

لذا خروج اگزوداوترانسودا از آن‌ها و تجمع مایع در خارج عروق خونی باعث افزایش فشار اسمزی و محدودیت در ناز لتفاوی شده و در نتیجه موجب افزایش اندازه ضایعات التهابی پری‌آپیکال به ویژه کیست رادیکولار می‌گردد.<sup>(۱۴ و ۳۰ و ۳۱)</sup>

ماستسل‌ها در مجاورت سلول‌های آماسی مزمن و نواحی فعال التهابی، در ضایعات التهابی پری‌آپیکال بیشتر بود. البته تعداد کمتری از ماستسل‌ها در نواحی زیر اپی‌تلیوم در کیست رادیکولار و اکثرًا با فاصله نسبت به عروق خونی مشاهده شدند.

در مطالعه حاضر، حضور ماستسل‌ها در نواحی مجاور اپی‌تلیوم سنگفرشی مطبق در کیست رادیکولار، به نوعی تأییدکننده نقش آنها در القاء پرولیفراسیون بقایای اپی‌تلیالی مالasz و تاثیر در تشکیل کیست رادیکولار می‌باشد.

در این مطالعه اکثرًا ماستسل‌ها در نواحی دورتری نسبت به عروق خونی مشاهده شدند. به نظر می‌رسد که ماستسل‌ها بیشتر عواملی را جهت مهاجرت سلول‌های آندوتالیال و فراخوانی آنها در نواحی دارای التهاب فعال ترشح می‌نمایند. مطالعه Rodini و همکاران حضور ماستسل‌ها را بیشتر در نواحی مجاور لنفوسيت‌ها و در مناطق التهابی فعال گزارش نمود.<sup>(۱۵)</sup> Montes و همکاران تعداد ماستسل‌ها را در ضایعات التهابی پری‌آپیکال در نواحی دارای التهاب مزمن بیشتر دانسته و دگرانولاسیون آن‌ها را در این نواحی مشاهده نمودند. ولی تعداد ماستسل‌های دگرانوله را محاسبه نکردند.<sup>(۲۳)</sup> اما Walsh و همکاران ماستسل‌ها را به عنوان سلول‌هایی با گرانولهای ترشحی فراوان و در اطراف عروق خونی در ضایعات دهانی مطرح کردند.<sup>(۲۶)</sup> Kontianen و همکاران وجود ماستسل‌ها را در نواحی فیبروزه ضایعات التهابی پری‌آپیکال گزارش نمودند.<sup>(۲۷)</sup> مطالعه Rodini و همکاران<sup>(۱۵)</sup> و Montes<sup>(۲۳)</sup> از نظر محل حضور ماستسل‌ها در توافق با نتایج مطالعه مذکور بوده، اما نتایج مطالعه Walsh و همکاران<sup>(۲۶)</sup> و Kontianen و همکاران<sup>(۲۷)</sup> تأییدکننده مطالعه ما نیست.

ماست سل‌ها قابل توجیه است.

مطالعه Sharma و همکاران نقش ماست سل‌ها را در آغاز فرایند رگ‌سازی در التهاب تأیید نکرده و به نوعی آن‌ها را در تداوم روند التهاب موثر دانسته‌اند.<sup>(۲۲)</sup>

مطالعه Leonardi و همکاران نیز بیانگر نقش سلول‌های آماسی و فیبروپلاست جهت تولید VPF/VEGF و رگ‌سازی در مراحل اولیه تشکیل ضایعات التهابی پری‌آپیکال است<sup>(۲۳)</sup> که نتایج هر دو مطالعه به نوعی مؤید نتایج مطالعه مذکور است.

در این مطالعه با افزایش شدت ارتضاح التهابی، تعداد ماست سل‌ها و تعداد عروق خونی افزایش نشان داد اما نسبت ماست سل دگرانوله به کل تعداد ماست سل‌ها در ضایعات التهابی پری‌آپیکال با افزایش شدت التهاب اختلاف معنی‌داری را نشان نداد. به نظر می‌رسد که ماست سل‌ها همراه با ارتضاح آماسی مزمن عواملی را ترشح می‌کنند که منجر به افزایش تعداد عروق خونی می‌گردد. اگرچه مطالعه Walsh و همکاران<sup>(۲۴)</sup> تأیید کننده نتایج مطالعه مذکور است اما مطالعه Leonardi و همکاران بیانگر ارتباط معکوس شدت التهاب، رگ‌سازی و تراکم ماست سل می‌باشد.<sup>(۲۵)</sup> به نظر می‌رسد که نوع ضایعات موجود در مطالعه بر روی نتایج مؤثر باشد.

در مقایسه نتایج مطالعات مختلف با مطالعه مذکور تفاوت‌هایی دیده می‌شود که به نظر می‌رسد نوع روش رنگ‌آمیزی، نوع نشانگر مورد استفاده جهت تعیین تراکم عروق خونی، نوع ماده فیکساتیو استفاده شده، تعداد فیلد میکروسکوپی و بزرگنمایی مورد بررسی، طریقه بررسی تعداد عروق خونی و تعداد ماست سل، رنگ‌آمیزی توأم تولوئیدین بلو و ایمونوهیستوشیمی در یک اسلاید و یا در دو اسلاید جداگانه و حتی سن و جنس افراد مبتلا به ضایعات التهابی پری‌آپیکال بر روی نتایج مطالعه موثر

در مطالعه حاضر ارتباط مثبتی در تراکم ماست سل و عروق خونی در کیست رادیکولار دیده شد اما این ارتباط در گرانولوم دندانی مشاهده نگردید. محققان در ضایعات مختلف ارتباط تراکم ماست سل با تراکم عروق خونی را بررسی کردند و در برخی از مطالعات این ارتباط تأیید شده است و نقش ماست سل‌ها در افزایش تراکم عروق خونی مثبت گزارش شده است<sup>(۱۶و۱۷)</sup> اما مطالعات دیگر مثلاً در کارسینوم سلول کلیوی تراکم ماست سل و عروق خونی تأیید نشده است.<sup>(۱۸)</sup>

به نظر می‌رسد که این ارتباط بر حسب نوع ضایعه و مراحل مختلف بالینی ضایعه متفاوت باشد. در مطالعه مذکور ارتباط مثبت تراکم عروق خونی با تراکم ماست سل در کیست رادیکولار تأیید کننده نقش ماست سل‌ها در افزایش رگ‌سازی در این ضایعه التهابی پری‌آپیکال است.

همواره این سؤال که ماست سل‌ها نقش اولیه در رگ‌سازی ضایعات التهابی پری‌آپیکال دارند یا نقش ثانویه مطرح است. به نظر می‌رسد که اگر نقش اولیه برای ماست سل در رگ‌سازی مطرح باشد تعداد ماست سل در گرانولوم دندانی باید از کیست رادیکولار بیشتر باشد. چون در پیشرفت ضایعات التهابی پری‌آپیکال معمولاً تبدیل گرانولوم به کیست رادیکولار مشاهده می‌شود ولی عکس مطلب فوق در مطالعه ما مشاهده شد. بنابراین به نظر می‌رسد ماست سل‌ها در رگ‌سازی ضایعات التهابی پری‌آپیکال نقش ثانویه داشته باشند و در مراحل اولیه رگ‌سازی در ضایعات التهابی پری‌آپیکال، سلول‌های التهابی دیگری غیر از ماست سل‌ها در رگ‌سازی نقش داشته باشند و ماست سل‌ها نقش کمکی در فرایند رگ‌سازی این ضایعات و در ادامه روند رشد داشته باشند که احتمالاً از طریق تقابل عملکرد لنفوسيت‌ها و

باشد.

### نتیجه گیری

ماستسل‌ها و عروق خونی در پاتوژن‌ضایعات التهابی مزمن پری‌آپیکال موثرند. تراکم ماستسل و انواع دگرانوله آن و نسبت ماستسل دگرانوله به کل تعداد ماستسل‌ها در کیست رادیکولار بیشتر از گرانولوم دندانی بود، اما تفاوت معنی‌داری در تراکم عروق خونی در دو ضایعه فوق دیده نشد. به نظر می‌رسد که ارتباط تراکم ماستسل با عروق خونی بر حسب مرحله مختلف بالینی ضایعات التهابی پری‌آپیکال متفاوت باشد.

### تشکر و قدردانی

این مطالعه حاصل طرح تحقیقاتی مصوب و پایان نامه دانشجویی فاطمه ادھمی به شماره ۶۰۹ است که بدینوسیله از معاونت پژوهشی دانشگاه و کارکنان مرکز تحقیقات سلوالی مولکولی بابل کمال تشکر را داریم.

بهترین شیوه درمان در ارتباط با ضایعات التهابی پری‌آپیکال حذف عامل محرك و درمان عصب کشی است. پیگیری بیمار همراه با درمان ریشه منجر به بهبود ناحیه می‌گردد ولی شناسایی بیشتر و فهمیدن مکانیسم‌های مؤثر در پاتوژن‌ضایعات التهابی پری‌آپیکال و عملکرد کلیه سلول‌های آماسی به ویژه ماستسل‌ها حائز اهمیت است.<sup>(۲۴)</sup> به طوری که شاید جلوگیری از فعالیت این سلول‌های چندکاره و مهندسی بالقوه بافت‌های مختلف بدن توسط داروهای ممانعت‌کننده از عملکرد و دگرانولاسیون آن‌ها بتواند در آینده‌ای نه چندان دور در درمان ضایعات التهابی پری‌آپیکال کمک‌کننده باشد.

### منابع

1. Marcal JR, Samuel RO, Femandes D, Araujo MS, Napimoga MH, Pelexra SA, et al. T helper cell type 17, regulatory T cell immunoregulatory balance in human radicular cysts and granulomas. *J Endod* 2010; 36(6): 995-9.
2. Shetty S, Amgadi PV, Rekha K. Radicular cyst in deciduous maxillary molars: A rarity. *Head Neck Pathol* 2010; 4(1): 27-30.
3. Nair PN. Apical periodontitis: A dynamic encounter between root canal infection and host response. *Periodontol* 2000; 13(2): 121-48.
4. Costa NL, Oton-Leit AF, Cheim-Jonior AP, Alencar Rdec, Bittar GO, Silva RA, et al. Density and migration of mast cells in lip squamous cell carcinoma and actinic cheilitis. *Histol Histopathol* 2009; 24(4): 457-63.
5. De Brabois Adp. Comparison of four staining methods for detection of mast cell in equine bronchoalveolar lavage fluid. *Veterin Inter Med* 2005; 24(4): 457-63.
6. Nonak CF, Maia AP, Bascimento GJ, deAlmedia Fretas R, Batista de Snuza L. Immunoexpression of vascular endothelial growth factor in periapical granulomas, radicular cysts and residual radicular cysts. *Oral Surg Oral Med Oral Pathol Oral Radiol Endod* 2008; 106(6): 896-902.
7. Zhang YY, San CF, Peng J. Expression of CD31, CD34 and CD105 in squamous cell carcinoma of tongue and their relationship with lymph node metastasis. *Hua Xi Kou Qiang Yi Xue Za Zhi* 2008; 26(2): 201-5. (Chinese)
8. Popiela TJ, Sikova J, Klimek M, Basta P, Niemiec T, Dobrogowski J, et al. The angiogenesis of CD34 antigen immunoreactivity level in invasive ductal breast cancer with respect to the presence of the lymph node metastases. *Neuro Endo Crimol Left* 2008; 29(4): 443-50.
9. Blair RJ, Meng H, Marches MJ. Human mast cells stimulate vascular tube formation tryptase is a novel potent angiogenic factor. *J Clin Invest* 1997; 99(1): 2691-700.

10. Drazic R, Sopta J, Minic A. Mast cells in periapical lesion, potential roles in their pathogenesis. *J Oral Pathol Med* 2010; 30(3): 257-62.
11. Caries JA, Walls AF. Mast cell tryptase is a mitogen for epithelial cells. Stimulation of IL-8 production and intercellular adhesion molecule-1 expression. *Immunol* 1990; 156(1): 275-83.
12. Farahani SS, Navabazadeh A, Ashkevari FS. Comparison of mast cells count in oral reactive lesions. *Pathol Res Pract* 2010; 206(3): 151-5.
13. Kabashima H, Nagata K, Maeda K, Injima T. Involvement of substance P, mast cells, TNF- $\alpha$  and ICAM-1 in the infiltration of inflammatory cells in human periapical granulomas. *J Oral Pathol Med* 2002; 31(3): 175-80.
14. Takanami I, Takauchi K, Naruke M. Mast cell density is associated with angiogenesis and poor prognosis in pulmonary adenocarcinoma. *Cancer* 2000; 88(12): 2686-92.
15. Rodini cdo, Batista AC, Lara VS. Comparative immunohistochemical study of the presence of mast cells in apical granulomas and periapical cysts. Possible role of the mast cell in the course of periapical lesion. *Oral Surg Oral Med Oral Pathol Oral Radiol Endod* 2004; 91(1): 59-63.
16. Mukaratirwa S, Chkafa L, Dliuago R, Mogo N. Mast cell density and angiogenesis in canine melanomas, malignancy and clinicopathological factors. *Vet Dermatol* 2006; 16(2): 141-6.
17. Ribatta D, Guidolin D, Marzullo A, Nico B, Annese T, Benagiano V, et al. Mast cells and angiogenesis in gasteric carcinoma. *Int J Exp Pathol* 2010; 91(4): 350-6.
18. Mohtasham N, Babakoohi S, Salehinejad J, Montaser-Kouhsari L, Shakeri MT. Mast cell density and angiogenesis in oral dysplastic epithelium and low and high grade oral squamous cell carcinoma. *Acta Odontol Scand* 2010; 83(5): 30-40.
19. Mohseni MG, Mohammadi A, Heshmat AS, Kosari F, Meysamie AP. The lack of correlation between mast cell and microvessel density with pathologic feature of renal cell carcinoma. *Int Urol Nephrol* 2010; 42(1): 109-20.
20. Tasi CH, Weng SF, Rang LC, Huang YC, Huang FM, Chen YJ, et al. Immunohistochemical localization of tissue-type plasminogen activator inhibitor in radicular cysts. *J Oral Patho Med* 2004; 33(3): 151-6.
21. Iamaroon A, Pongsiriwet S, Jittidecharaks S, Pattanaporn K, Prapayatasotok S, Wanachantararak S. Increase of mast cells and tumor angiogenesis in oral squamous cell carcinoma. *J Oral Pathol Med* 2003; 32(4): 195-9.
22. Sharma R, Saxena S. Comparative study of the presence of mast cells in periapical granuloma and periapical cysts by toluidine blue and astrablue: Possible role of mast cells in the course of human periapical lesions. *Int J Oral Med Sci* 2010; 9(1): 17-25.
23. Montes CL, Garces-Ortize M, Rosales-Grsia G, Hermandes-Guerrero JC. Importance of mast cells in human periapical inflammatory lesions. *Oral Pathol* 2004; 30(12): 855-9.
24. Neville BW, Dam DD, Allen CM, Bouquot JE. *Oral and Maxillofacial Pathology*. 3<sup>rd</sup> ed. Philadelphia: W.B.Saunders Co; 2009. P. 132-4.
25. Frances H, Meihinger CJ. A review of mast cells and liver disease: What have we learned? *Dig Liver Dis* 2010; 42(8): 529-36.
26. Walsh LJ, Davis MF, Xu LJ, Sarage NW. Relationship between mast cell degranulation and inflammation in the oral cavity. *J Oral Pathol Med* 1995; 24(6): 266-72.
27. Kontianen S, Ranta H, Lautenschlager I. Cells infiltrating human periapical inflammatory lesion. *J Oral Pathol* 1986; 15(10): 544-6.
28. Tete S, Mastrangelo F, Grimoldi S, Costanzo G, Salini L, Speranza L, et al. Immunohistochemical evaluation of CD31 in human cystic radicular lesions and in keratocyst. *Int J Immun Pathol Pharmocol* 2005; 18(3): 39-45.
29. Regezi J, Sciubba J, Jordan CK. *Oral Pathology, Clinical Pathologic Correlations*. 5<sup>th</sup> ed. Philadelphia: W.B.Saunders Co; 2008. P. 238-9.
30. Kumar V, Abbas AK, Fausto N, Robbins C, Cotran C. *Pathologic Basis of Disease*. 7<sup>th</sup> ed. Philadelphia: W.B.Saunders Co; 2005. P. 310-3.
31. Hosina R, Lingen MW. Angiogenesis in oral cancer. *J Dent Educ* 2000; 65(11): 1282-90.
32. Leonardi R, Caltabiano M, Pagano M, Pezzuto V, Loreto C. Detection of vascular endothelial growth factor,vascular permeability factor in periapical lesions. *J Endod* 2003; 20(3): 180-4.